

# **Biodiversidad de reservorios y vectores de zoonosis emergentes de importancia en salud pública**

Víctor Sánchez-Cordero  
Instituto de Biología, UNAM  
[victor@ibiologia.unam.mx](mailto:victor@ibiologia.unam.mx)

# Agradecimientos

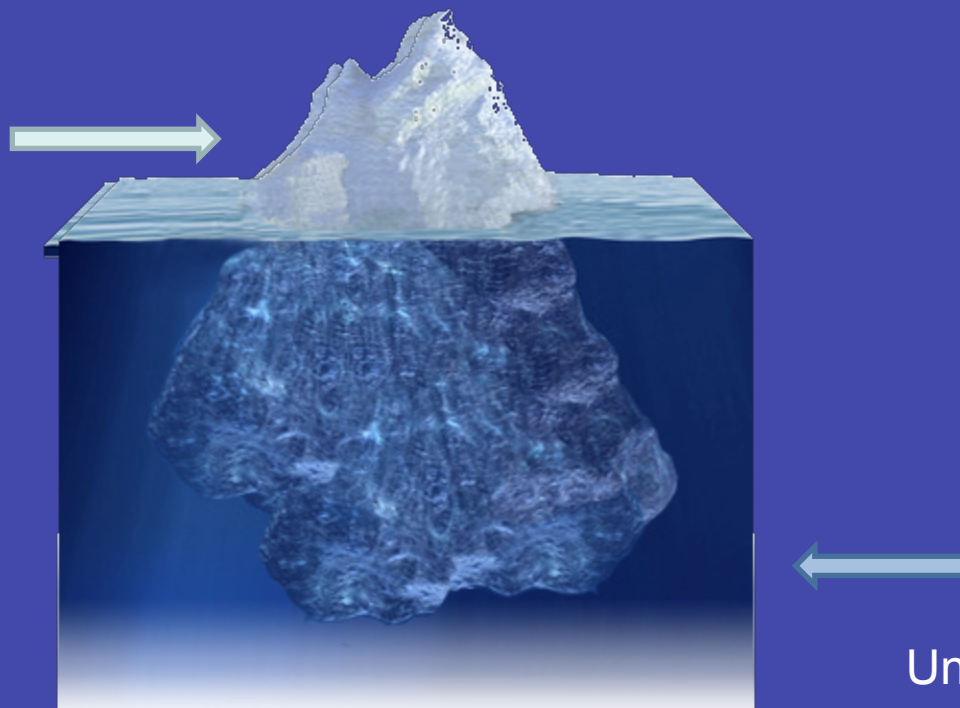
- A mis estudiantes, a mis estudiantes y a mis estudiantes.
- A las agencias que han apoyado \$\$\$\$- CONACyT, PAPIIT, NIH.
- CDB y a Cristina Romanelli.

# El problema



# El reto

Reported cases  
Known reservoirs  
Known vectors



Unknown reservoirs  
Unknown vectors  
Not reported cases

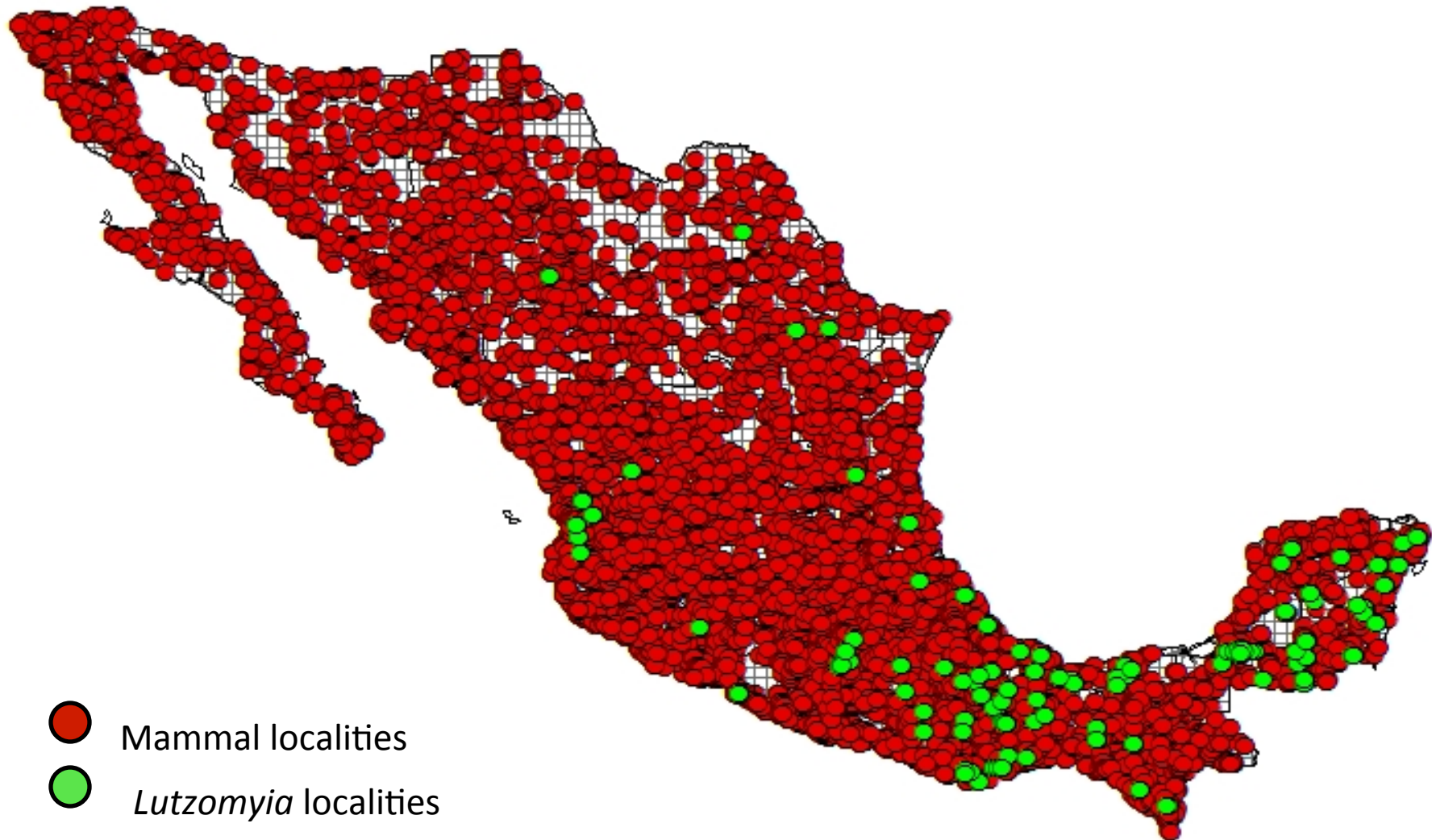
# Objetivos

- Identificar reservorios y vectores potenciales de las enfermedades de leishmaniasis y Chagas en México (*Enfoque de minería de datos*).
- Producir áreas potenciales de riesgo actual y bajo escenarios de CC, usando modelos de nicho ecológico de reservorios y vectores potenciales de ambas zoonosis emergentes (*Enfoque de modelado del nicho ecológico de especies*).
- Estudio de caso de interacciones entre reservorios, vectores y humanos.

# ¿Qué es minería de datos?

“...la exploración y análisis de datos para detectar tendencias, correlaciones y otras asociaciones (geográficas)...”

# Spatial association between mammals and *Lutzomyia* sandflies



# Data mining approach

A useful statistical diagnostic:

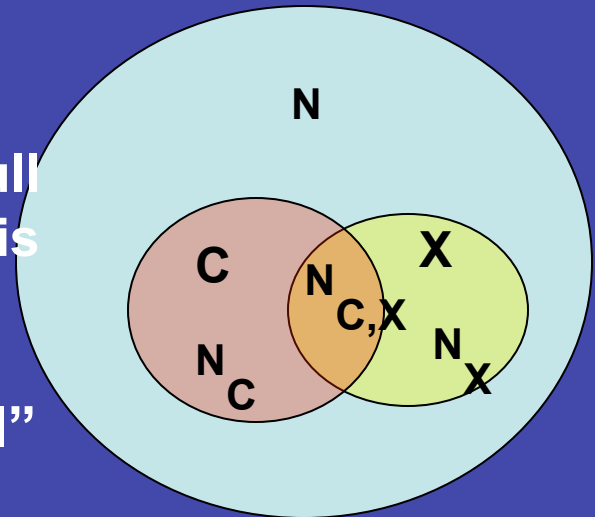
Classifier

$$\varepsilon = \frac{N_X(P(C|X) - P(C))}{(N_X P(C)(1 - P(C)))^{1/2}}$$

Null hypothesis

“Signal”

“Noise”



e.g. X is vector, C is the reservoir  $\varepsilon > 2$  implies that there is a strong statistically significant positive correlation (in a geographical context) between this vector and reservoir.

# Predicted mammals as potential reservoirs

	Mammals	Epsilon	Conf.
1	<i>Eira barbara</i>	8.0256	
2	<i>Heteromys gaumeri</i>	7.3806	YES
3	<i>Rhogeessa aeneus</i>	7.2139	
4	<i>Dasyprocta punctata</i>	7.1071	
5	<i>Peromyscus mexicanus</i>	6.8456	
6	<i>Reithrodontomys gracilis</i>	6.8283	
7	<i>Heteromys desmarestianus</i>	6.7365	
8	<i>Orthogeomys hispidus</i>	6.6434	
9	<i>Carollia sowelli</i>	6.6423	
10	<i>Dermanura phaeotis</i>	6.5812	
11	<i>Dasyprocta mexicana</i>	6.4628	
12	<i>Carollia perspicillata</i>	6.4421	
13	<i>Molossus ater</i>	6.2416	
14	<i>Artibeus intermedius</i>	6.2252	
15	<i>Conepatus semistriatus</i>	6.0551	
16	<i>Micronycteris brachyotis</i>	5.8553	
17	<i>Glossophaga soricina</i>	5.7809	
18	<i>Carollia brevicauda</i>	5.7534	
19	<i>Atelos geoffroyi</i>	5.7310	
20	<i>Glossophaga morenoi</i>	5.7310	
21	<i>Microtus umbrinus</i>	5.6363	
22	<i>Thyroptera tricolor</i>	5.6363	
23	<i>Potos flavus</i>	5.6220	
24	<i>Peromyscus melanocarpus</i>	5.5843	
25	<i>Peromyscus yucatanicus</i>	5.4991	YES
26	<i>Pteronotus parnellii</i>	5.4433	
27	<i>Oryzomys couesi</i>	5.3761	
28	<i>Sturnira lilium</i>	5.2763	
29	<i>Desmodus rotundus</i>	5.2550	
30	<i>Sigmodon hispidus</i>	5.1338	YES
31	<i>Habromys ixiani</i>	4.9816	
32	<i>Microtus waterhousii</i>	4.9816	
33	<i>Pteronotus rubiginosus</i>	4.9816	
34	<i>Artibeus watsoni</i>	4.9816	
35	<i>Balantiopteryx balantiopteryx</i>	4.9816	
36	<i>Ototylomys phyllotis</i>	4.9569	YES
37	<i>Nasua narica</i>	4.9294	
38	<i>Megadontomys cryophilus</i>	4.9289	
39	<i>Cuniculus paca</i>	4.8416	
40	<i>Chiropodom villosum</i>	4.7304	
41	<i>Oryzomys chapmani</i>	4.6930	
42	<i>Didelphis marsupialis</i>	4.6508	YES
43	<i>Phialander opossum</i>	4.6294	
44	<i>Habromys lepturus</i>	4.5801	
45	<i>Coendou mexicanus</i>	4.5175	
46	<i>Molossus sinaloae</i>	4.4670	
47	<i>Orthogeomys grandis</i>	4.4437	
48	<i>Oryzomys alfaroi</i>	4.4041	
49	<i>Didelphis virginiana</i>	4.3131	
50	<i>Peromyscus aztecus</i>	4.2975	

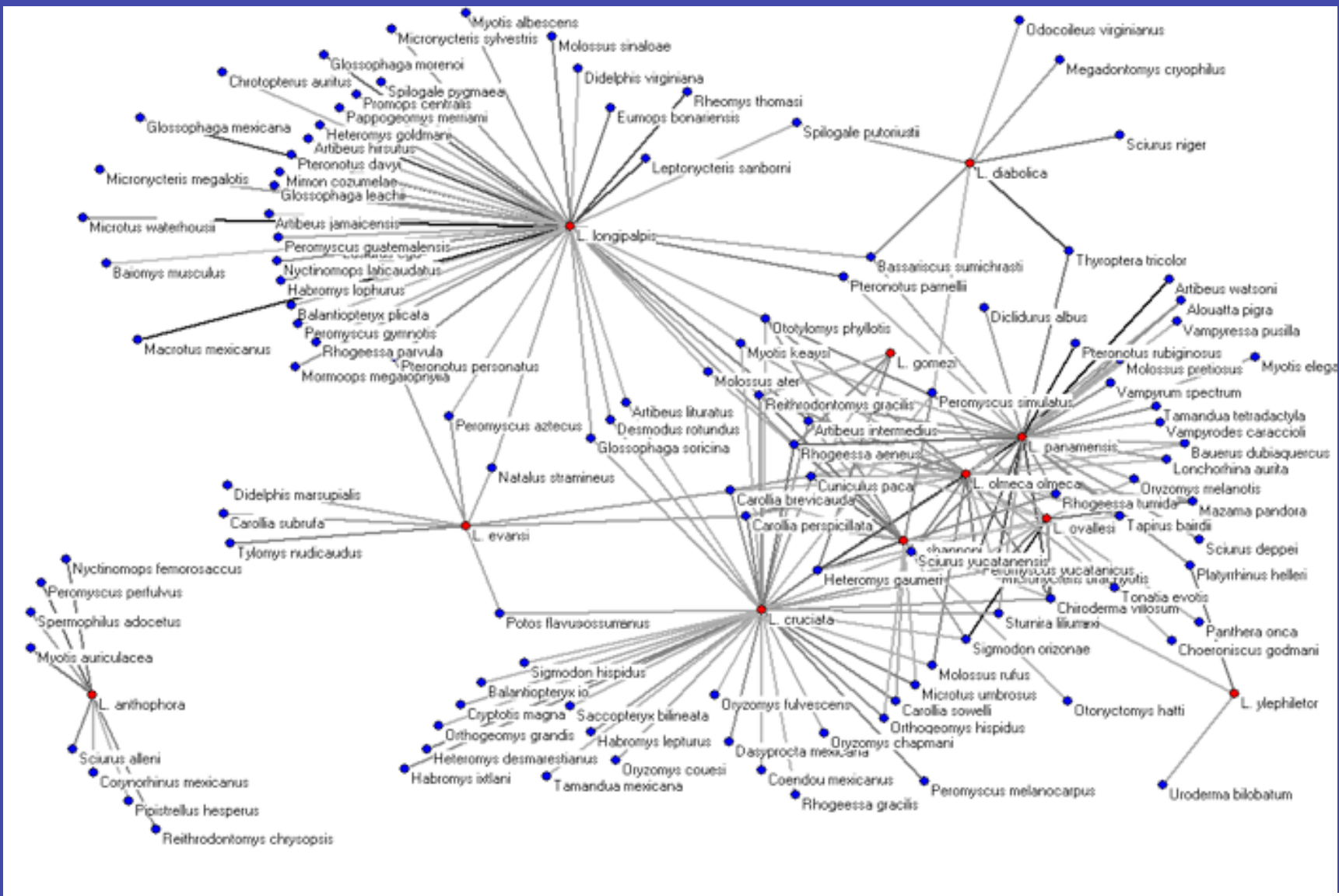
  

	Mammals	Epsilon	Conf.
51	<i>Myotis keaysi</i>	4.2596	
52	<i>Macrotus mexicanus</i>	4.1863	
53	<i>Sciurus yucatanensis</i>	4.1373	
54	<i>Alouatta palliata</i>	4.0343	
55	<i>Reithrodontomys microdon</i>	4.0343	
56	<i>Cryptotis magna</i>	4.0218	
57	<i>Otonyctomyia hatti</i>	4.0218	
58	<i>Tylomys nudicaudus</i>	3.9872	
59	<i>Rhogeessa turnida</i>	3.9779	
60	<i>Artibeus lituratus</i>	3.9776	
61	<i>Mormoops megalophylla</i>	3.9317	
62	<i>Choeronycteris godmani</i>	3.8806	
63	<i>Peropteryx macrotis</i>	3.8806	
64	<i>Artibeus jamaicensis</i>	3.7936	
65	<i>Centurio senex</i>	3.7933	
66	<i>Sorex veraepacis</i>	3.7926	
67	<i>Oryzomys rostratus</i>	3.7926	
68	<i>Tamandua mexicana</i>	3.6461	
69	<i>Saccopteryx bilineata</i>	3.6413	
70	<i>Pteronotus personatus</i>	3.6300	
71	<i>Sylvilagus brasiliensis</i>	3.5882	
72	<i>Pteronotus davyi</i>	3.4724	
73	<i>Baionymus musculus</i>	3.4138	
74	<i>Peromyscus simulatus</i>	3.4040	
75	<i>Rhogeessa gracilis</i>	3.4040	
76	<i>Bassariscus sumichrasti</i>	3.3864	
77	<i>Leptonycteris sanborni</i>	3.3864	
78	<i>Glossophaga mexicana</i>	3.3864	
79	<i>Oryzomys fulvescens</i>	3.3864	
80	<i>Rheomys thomasi</i>	3.3806	
81	<i>Heteromys goldmani</i>	3.3806	
82	<i>Molossus rufus</i>	3.3806	
83	<i>Sigmodon orizonicus</i>	3.3806	
84	<i>Mimon cozumelae</i>	3.3596	
85	<i>Glossophaga leachii</i>	3.3235	
86	<i>Herpailurus yagouaroundi</i>	3.2893	
87	<i>Sciurus aureogaster</i>	3.2661	
88	<i>Lontra longicaudis</i>	3.2487	
89	<i>Mazama americana</i>	3.2367	
90	<i>Balantiopteryx io</i>	3.2367	
91	<i>Hodomys allenii</i>	3.2231	
92	<i>Myotis elegans</i>	3.1422	
93	<i>Diphylla ecaudata</i>	3.0973	
94	<i>Micronycteris megalotis</i>	3.0973	
95	<i>Nyctinomops laticaudatus</i>	3.0838	
96	<i>Sciurus deppei</i>	3.0690	
97	<i>Sigmodon allenii</i>	3.0368	
98	<i>Uroderma bilobatum</i>	3.0368	
99	<i>Oryzomys melanotis</i>	3.0265	YES
100	<i>Oidocoileus virginianus</i>	2.8956	

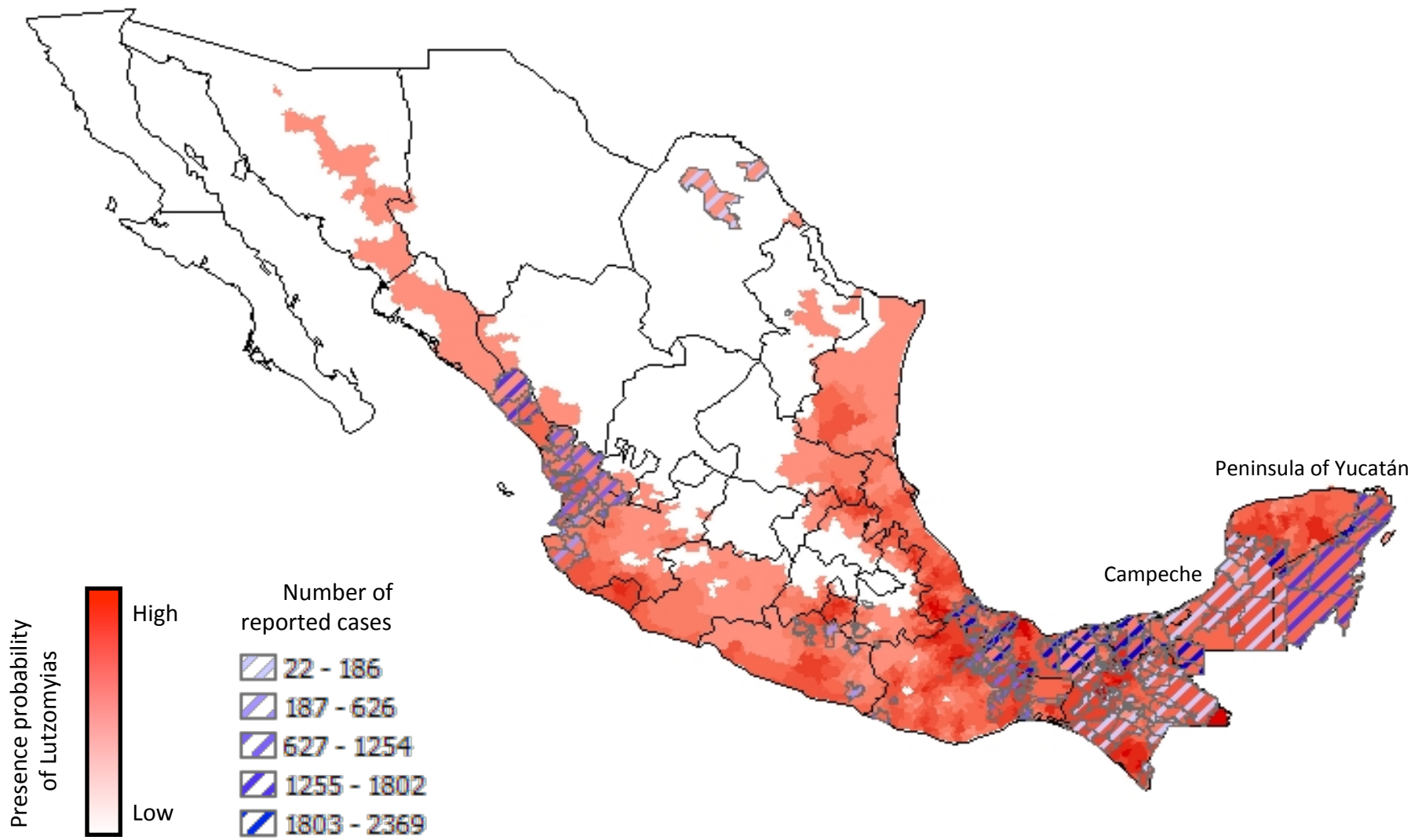
Highest Épsilon values of spatial correlations between mammals and *Lutzomyia* sandflies.

The probability of randomly finding 5 confirmed mammal reservoirs in the first column is  $10^{-8}$

## Mammals (reservoirs) and *Lutzomyia* sandflies (vectors) interaction network. (*PloS ONE* 2009; *PLoS NTD* 2009, 2010a,b)

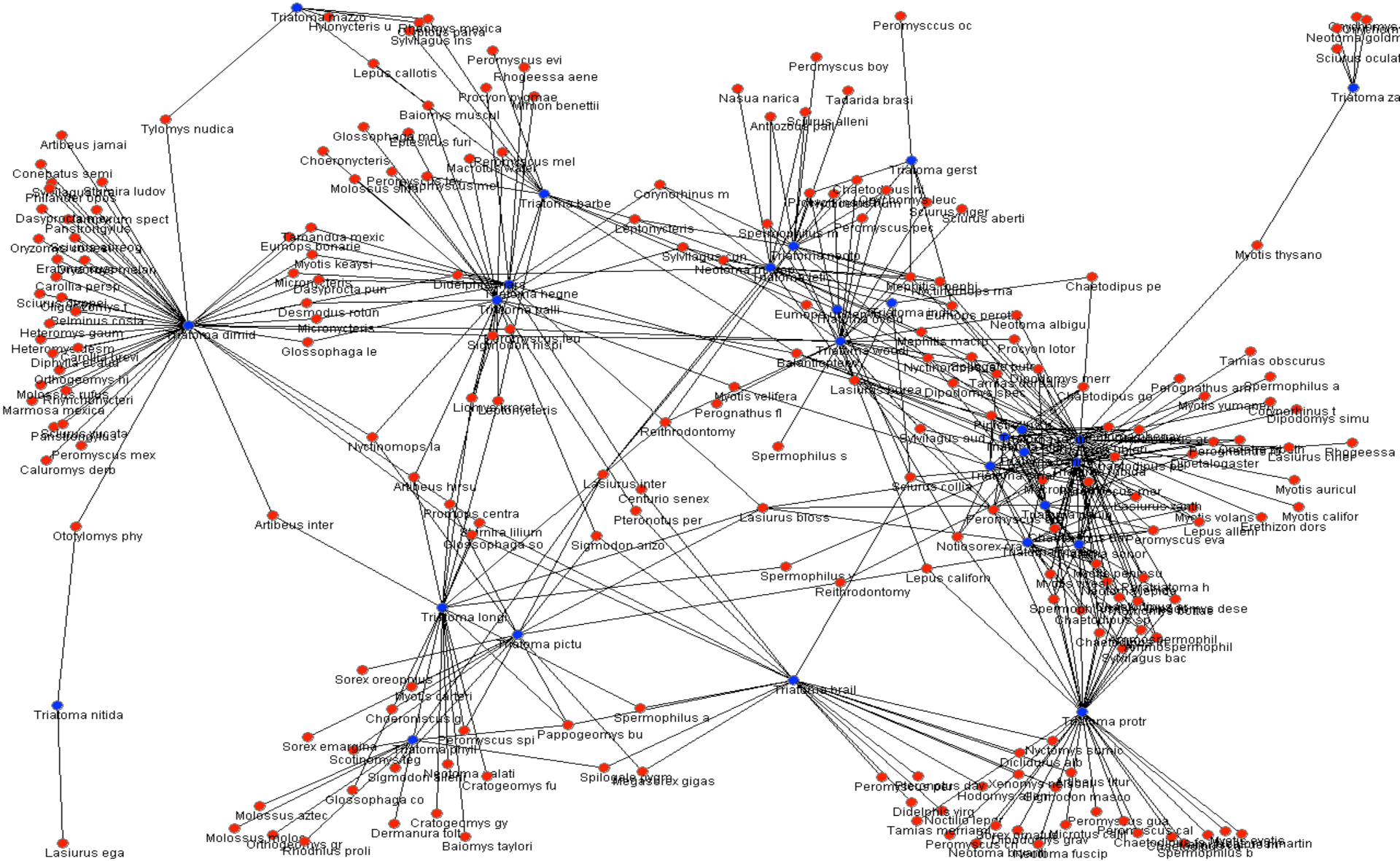


# Lutzomyias Mammals



# The complex Chagas ecological network

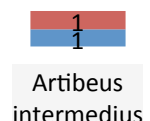
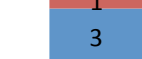
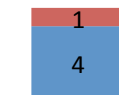
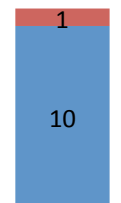
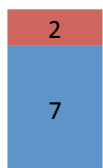
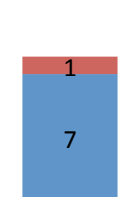
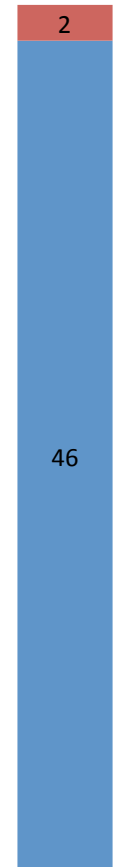
(unpublished)





# Organismos positivos a Leshmanisis.

■ N ■ Positivos

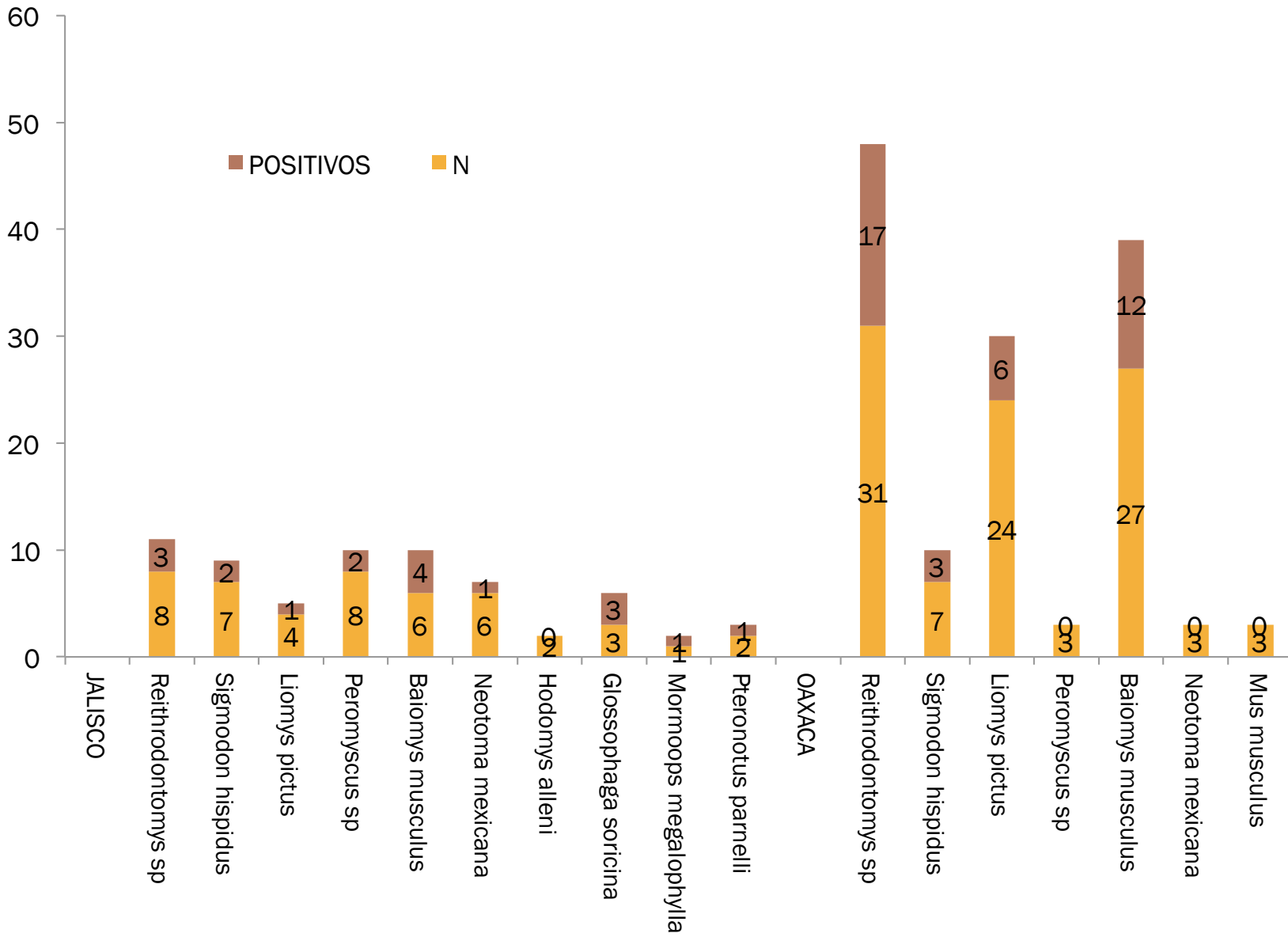


Yucatan

Chiapas

Tabasco

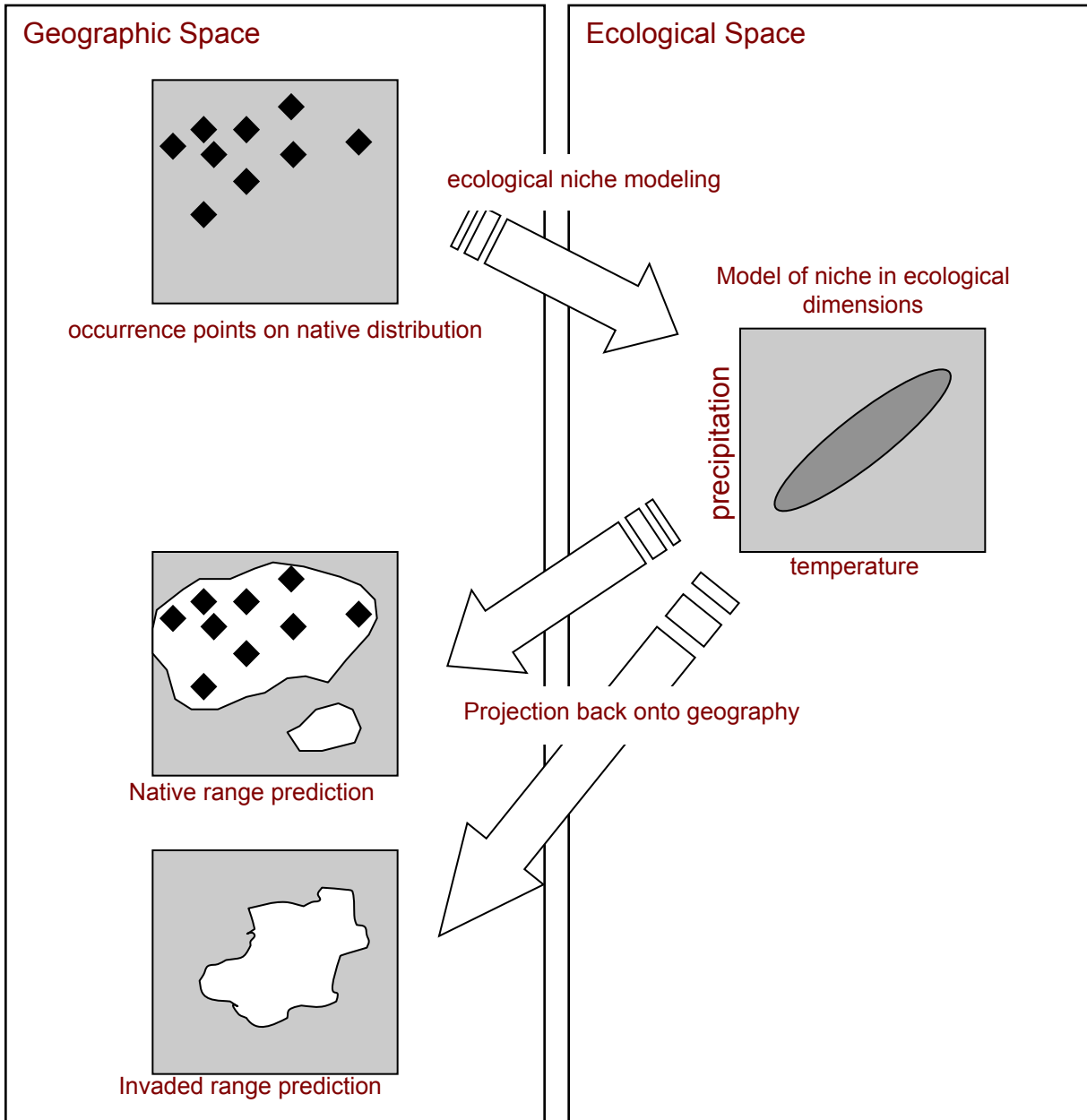
## Reservorios potenciales positivos a *Trypanosoma cruzi*



# Objetivos

- Identificar reservorios y vectores potenciales de las enfermedades de leishmaniasis y Chagas en México (*Enfoque de minería de datos*).
- **Producir áreas potenciales de riesgo actual y bajo escenarios de CC, usando modelos de nicho ecológico de reservorios y vectores potenciales de ambas zoonosis emergentes (*Enfoque de modelado del nicho ecológico de especies*)**.
- Estudio de caso de interacciones entre reservorios, vectores y humanos.

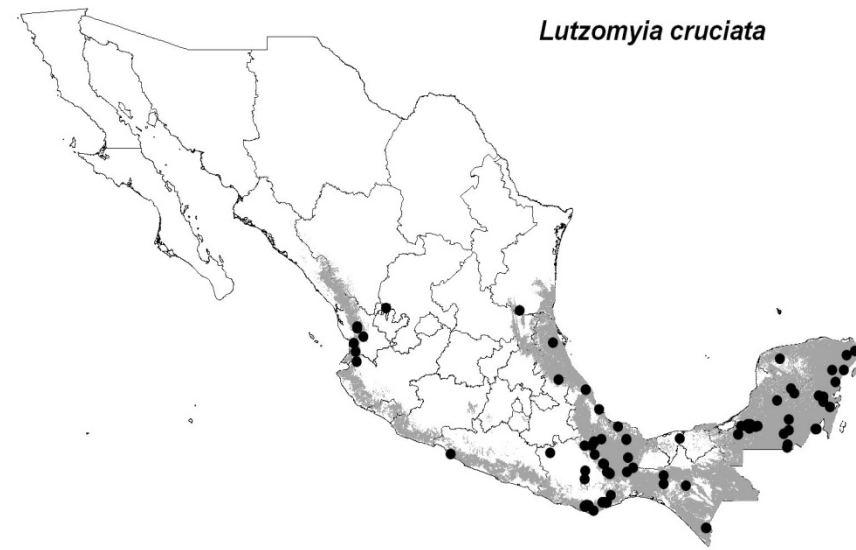
# Modelado del nicho ecológico de especies (MNE)



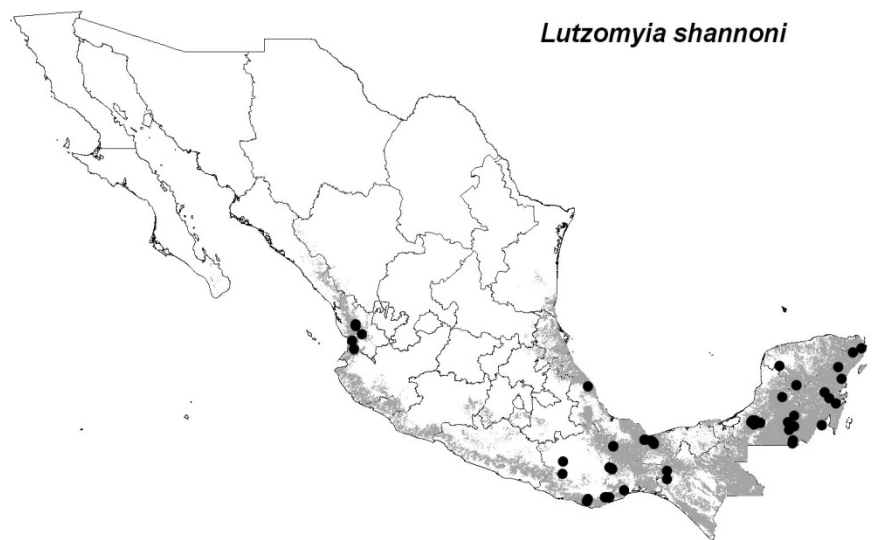
*Lutzomyia olmeca*



*Lutzomyia cruciata*



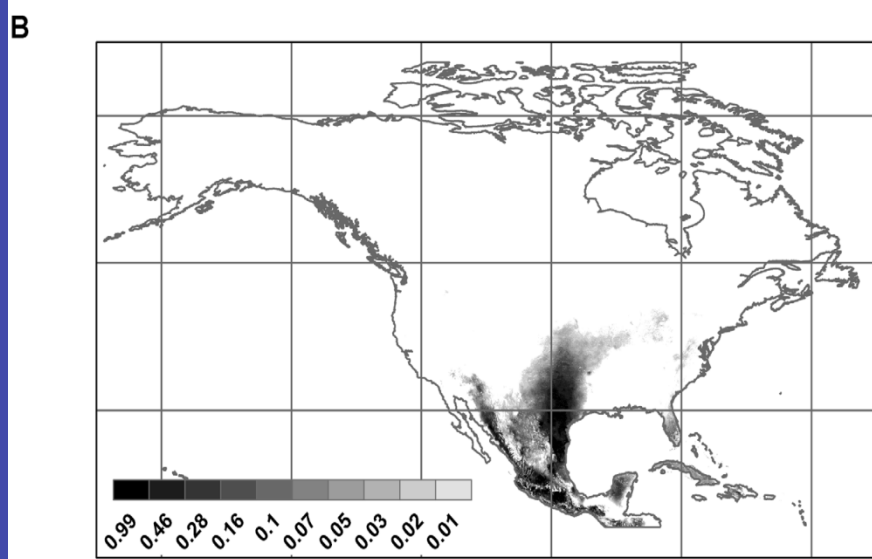
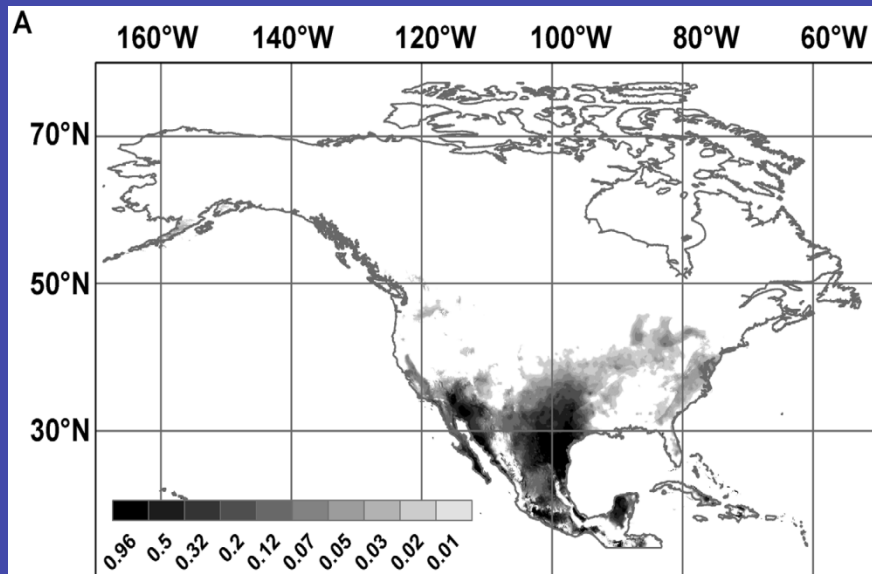
*Lutzomyia shannoni*



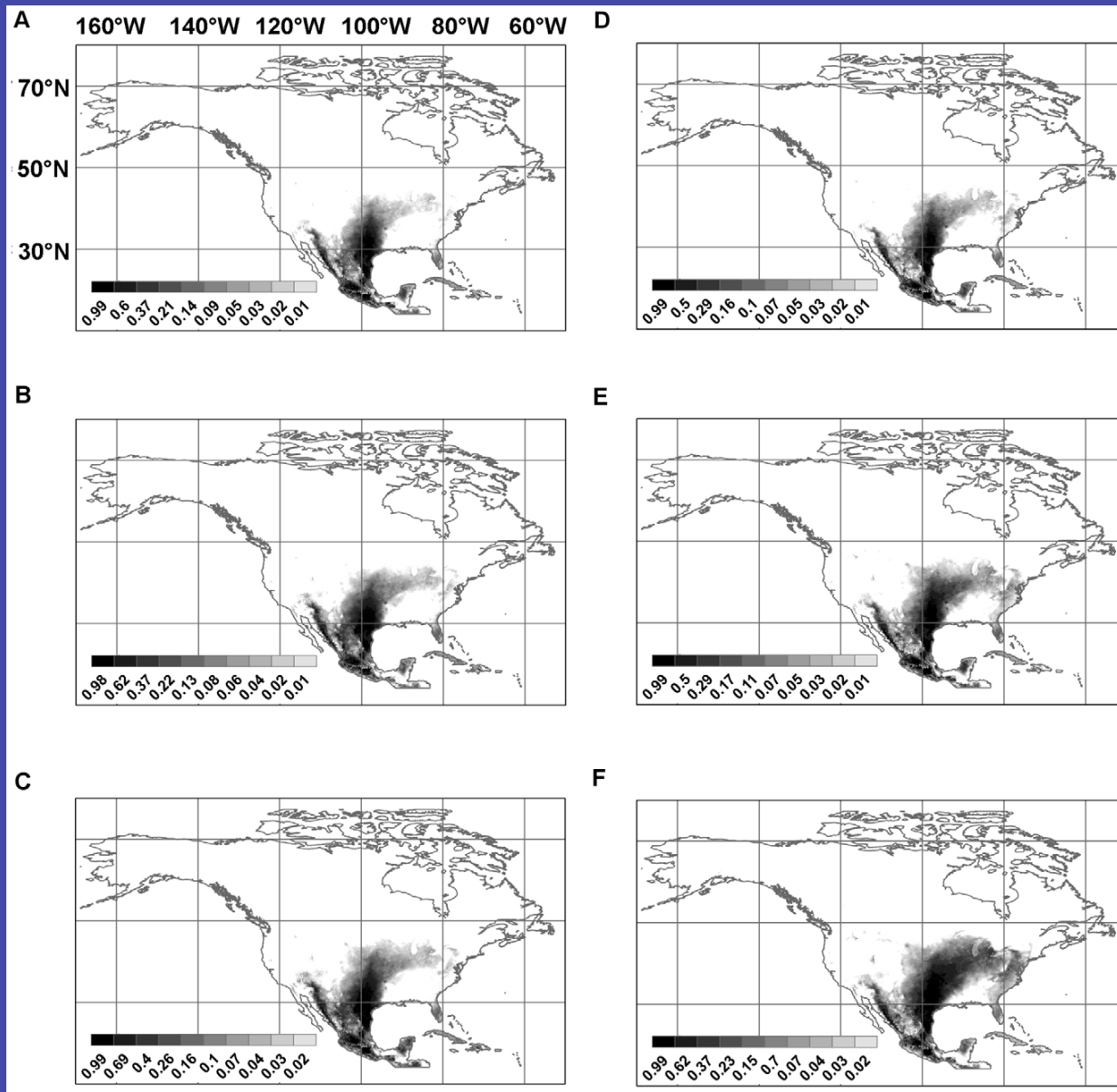
*Lutzomyia panamensis*



Species distribution models of *Lutzomyia anthrophora* (up),  
and *Lutzomyia diabolica* (bottom)

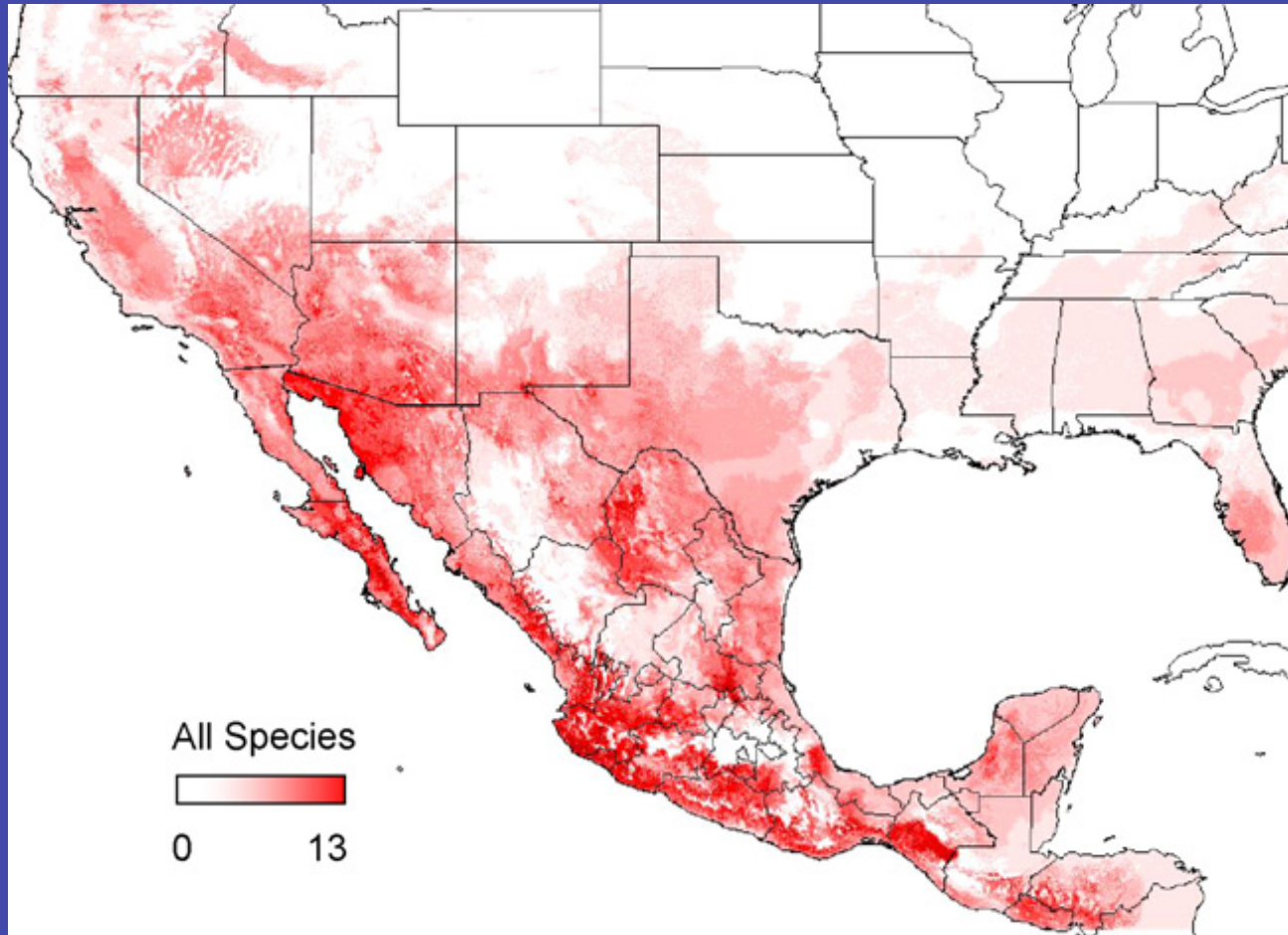


Predicted distribution of *Lutzomyia diabolica* for 2020, 2050 and 2080, using the International Panel for Climate Change environmental layers  
(*PLoS NTD 2010*)

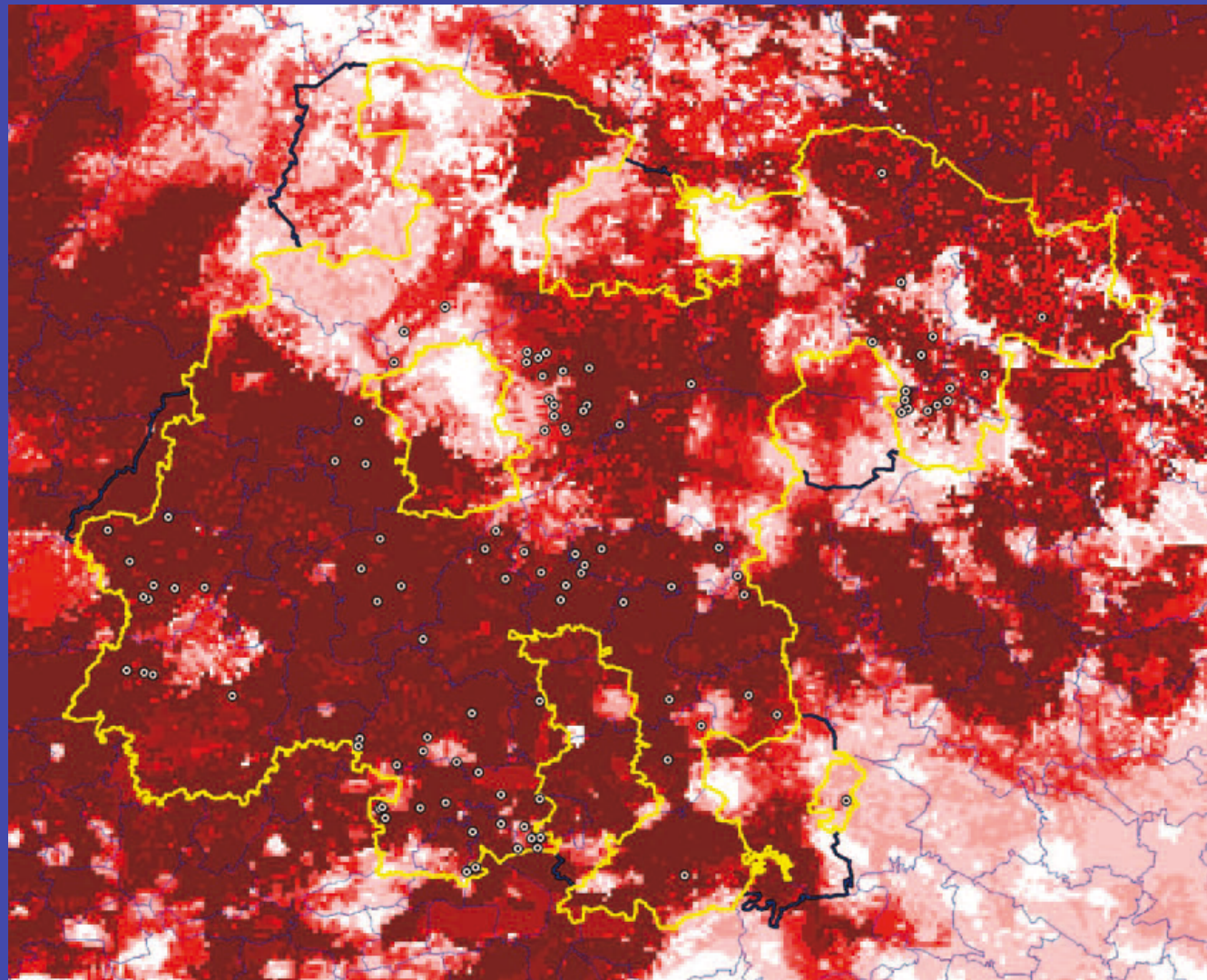


# Species distribution models of North American triatomines

(*Acta Tropica* 2009)



Niche prediction area for *T. barberi* in the state of Guanajuato. Highest risk is indicated in dark red and lowest in white; collection sites are marked by open circles in the map.  
*J Med. Ent.* 2005.



# Objetivos

- Identificar reservorios y vectores potenciales de las enfermedades de leishmaniasis y Chagas en México (*Enfoque de minería de datos*).
- Producir áreas potenciales de riesgo actual y bajo escenarios de CC, usando modelos de nicho ecológico de reservorios y vectores potenciales de ambas zoonosis emergentes (*Enfoque de modelado del nicho ecológico de especies*).
- **Estudio de caso de interacciones entre reservorios, vectores y humanos** (*PLoS ONE, accepted*)

# Contexto Económico Enfermedad de Chagas

En América Latina existen aproximadamente entre 16 y 18 millones de pacientes infectados de Chagas.

En México existen entre 1'200,000 y 2'000,000 de pacientes infectados

Si estos casos hubieran sido detectados y tratados oportunamente, los recursos ahorrados serían más de 1,258 millones de US\$.





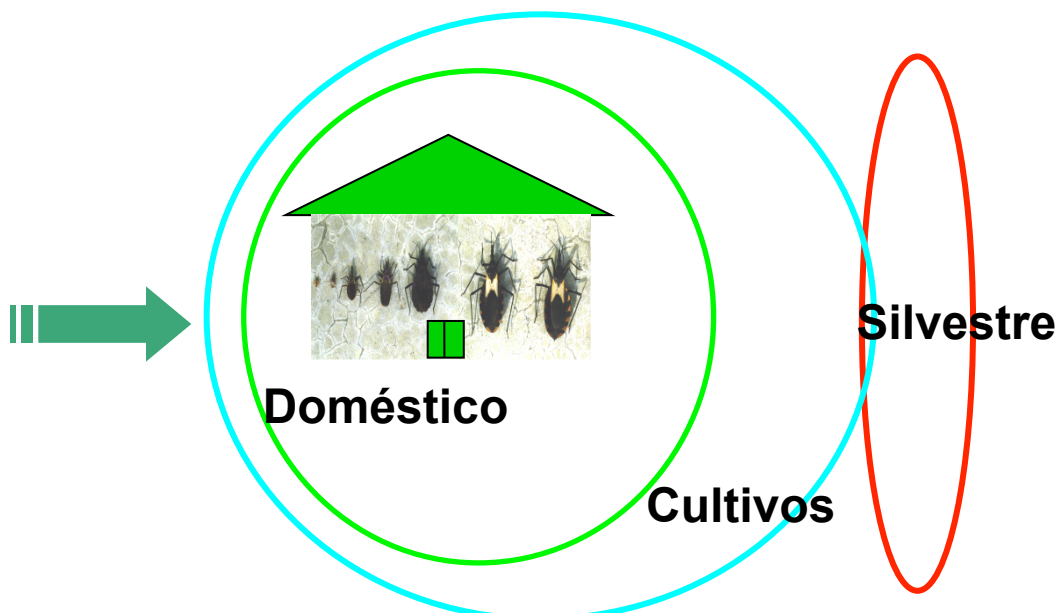
## Antecedentes

- **96% de la transmisión de la enfermedad de Chagas ocurre por el vector**
- **Todo programa de control de la EC prioriza control de la presencia de los vectores en el ámbito doméstico**
- **Control de las densidades domésticas del vector es factible por medio de la limpieza (remoción) de la vivienda y/o uso de insecticidas**
- **Eficacia de insecticidas para abatir 98% de la infestación de vector doméstico en México ya comprobado en estudios previos (en Chalcatzingo)**
- **La evidencia indica que el factor de riesgo principal para infestación doméstica, es la infestación del ámbito peridomiciliar y la persistencia de madrigueras infestadas**



**¿De dónde vienen las chinches que infestan viviendas y transmiten *Trypanosoma cruzi* al humano?  
(paradigma compartido con todas las zoonosis)**

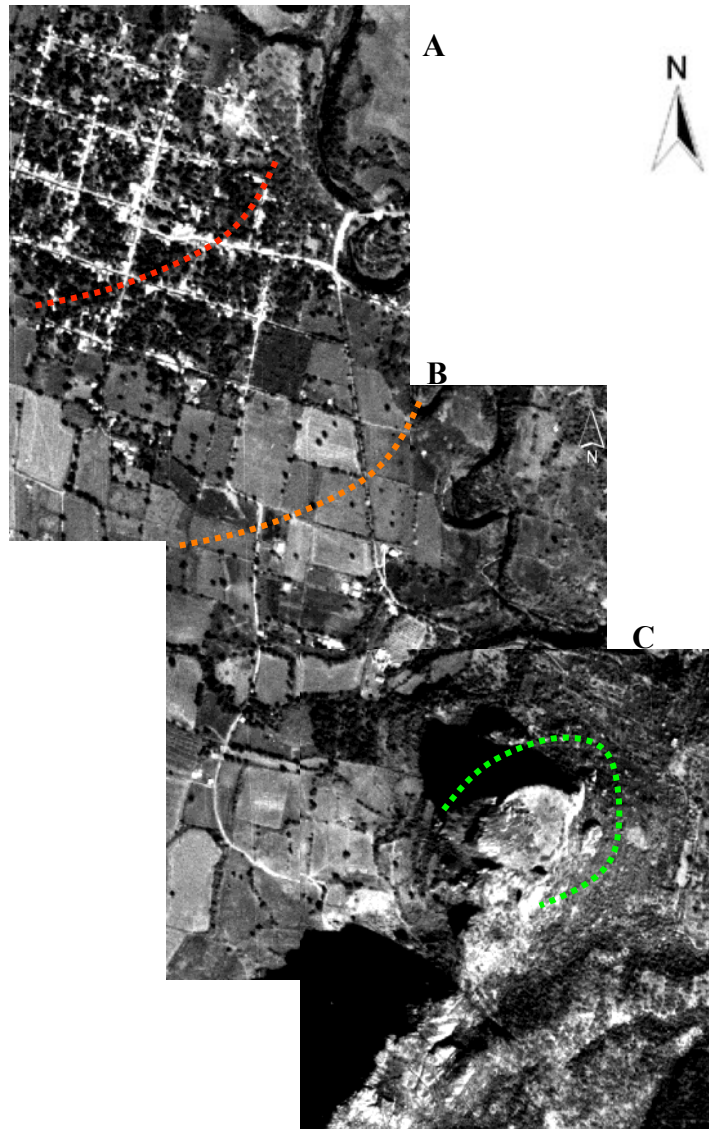
**Hipótesis:** La conectividad ecológica es un factor determinante para el riesgo de exposición del hombre a las ZE, incluyendo la transmisión de *Trypanosoma cruzi* y la E. Chagas.



## Objetivo

**Aportar evidencias sobre la conectividad ecológica entre todos los hábitat del paisaje, desde la perspectiva del control de la domesticación de *Triatoma pallidipennis* y *Trypanosoma cruzi* (y de la transmisión de la EC).**

## Metodología



### Análisis de conectividad entre hábitat:

**A: Comunidad de Chalcatzingo,  
Jantetelco,  
Morelos (18° 43' 22" N, 98° 42' 39" W)**

**B: zona de cultivos y vegetación  
perturbada.**

**C: bosque tropical caducifolio  
(BTC)**



# Methods

## - Biological samples

**Chiroptera**



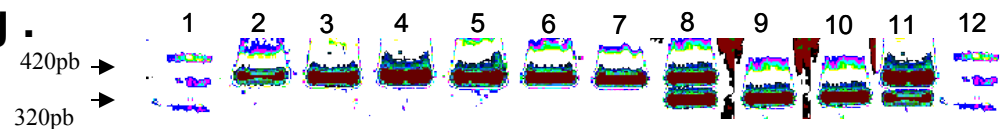
**Rodentia**



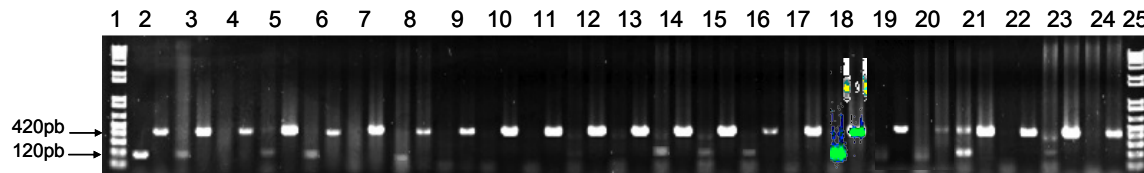
***T. pallidipennis***



## - *Triatoma pallidipennis* bloodmeal identification using cyt b sequencing .

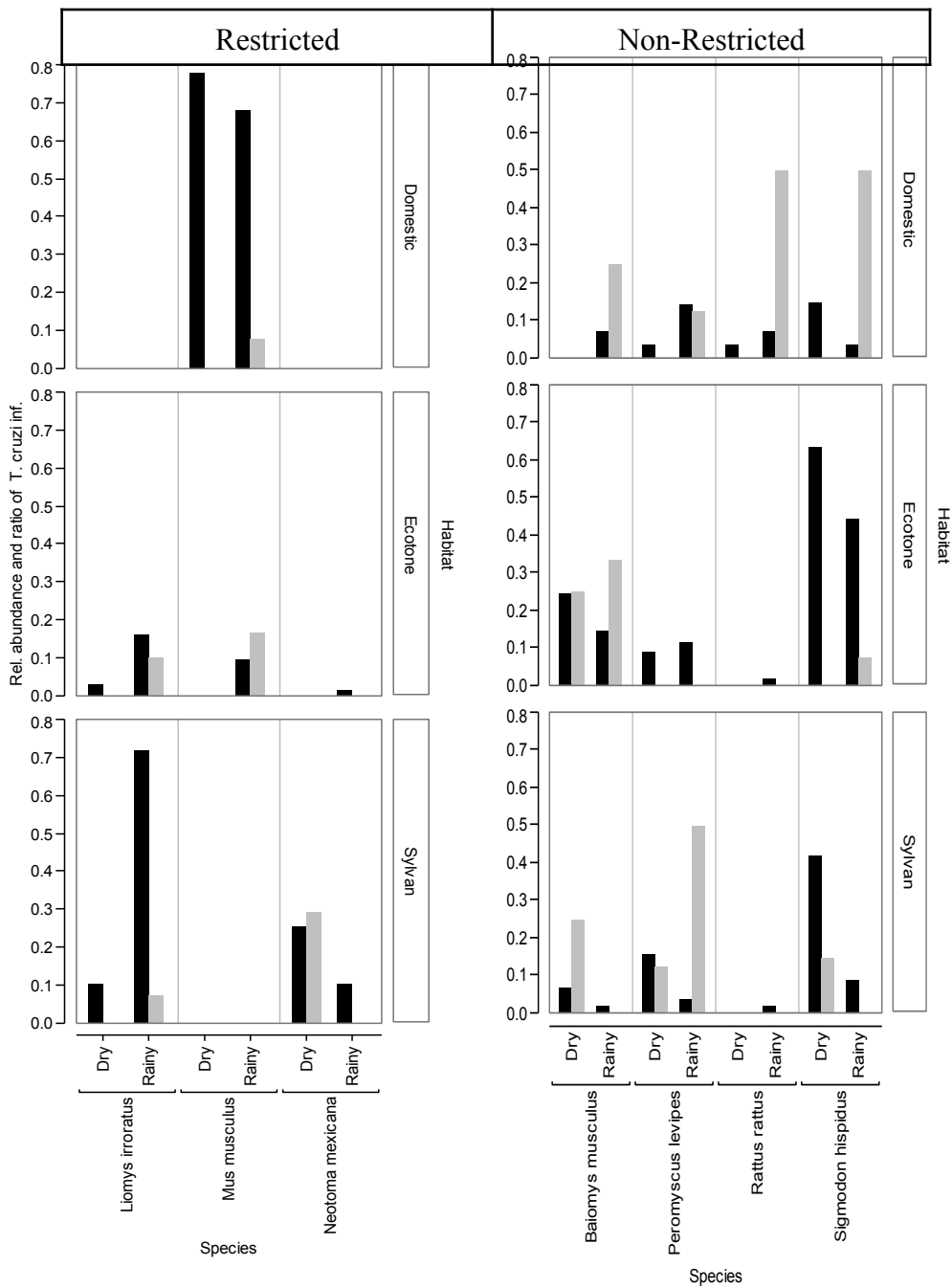


## - Identification of *Trypanosoma cruzi* con oligos S67 y S34 (120pb) in rodent tissue and *T. pallidipennis*



# Resultados

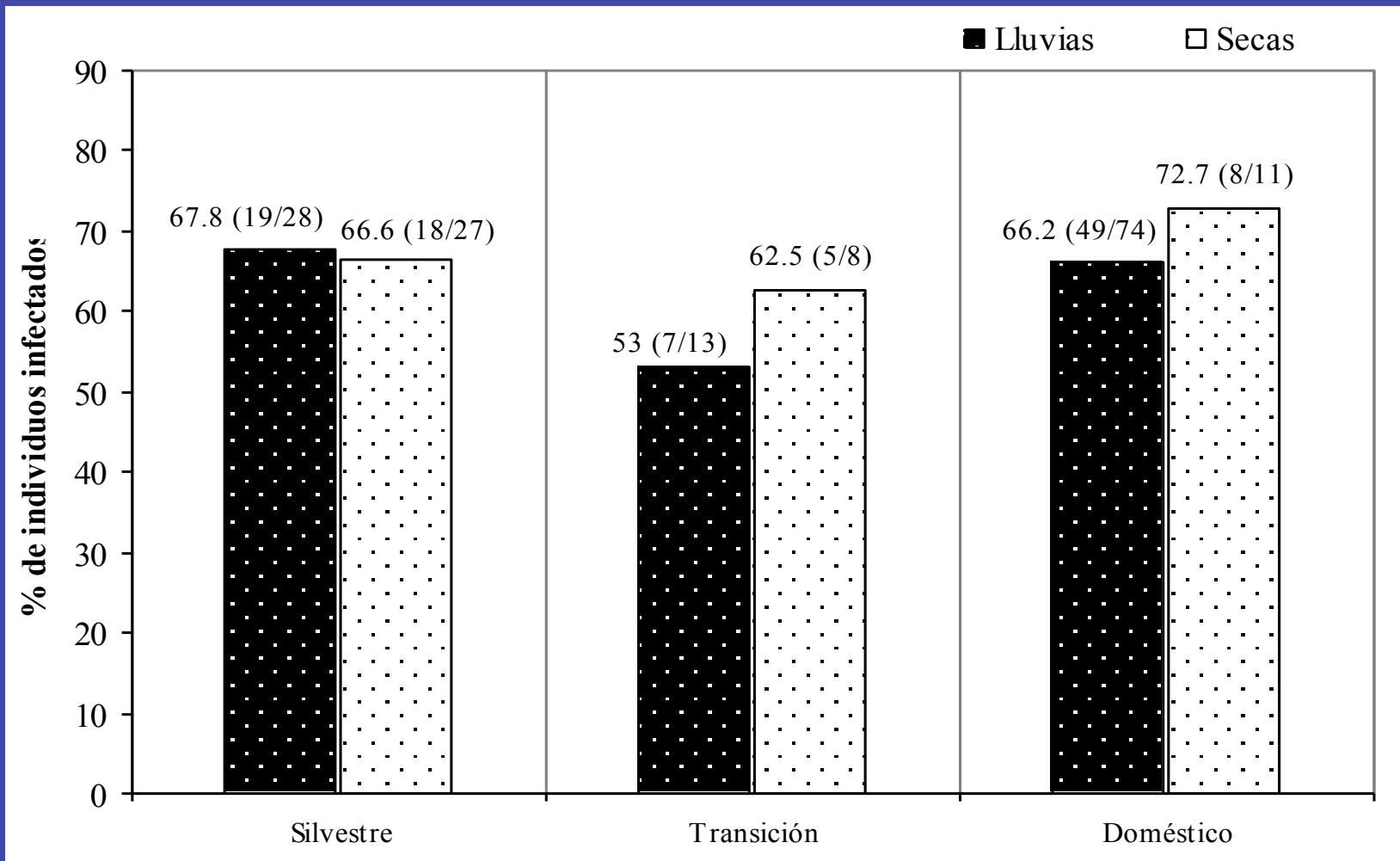
## Abundancia relativa (solido) e infección con *Trypanosoma cruzi* (gris)/ especie/habitat



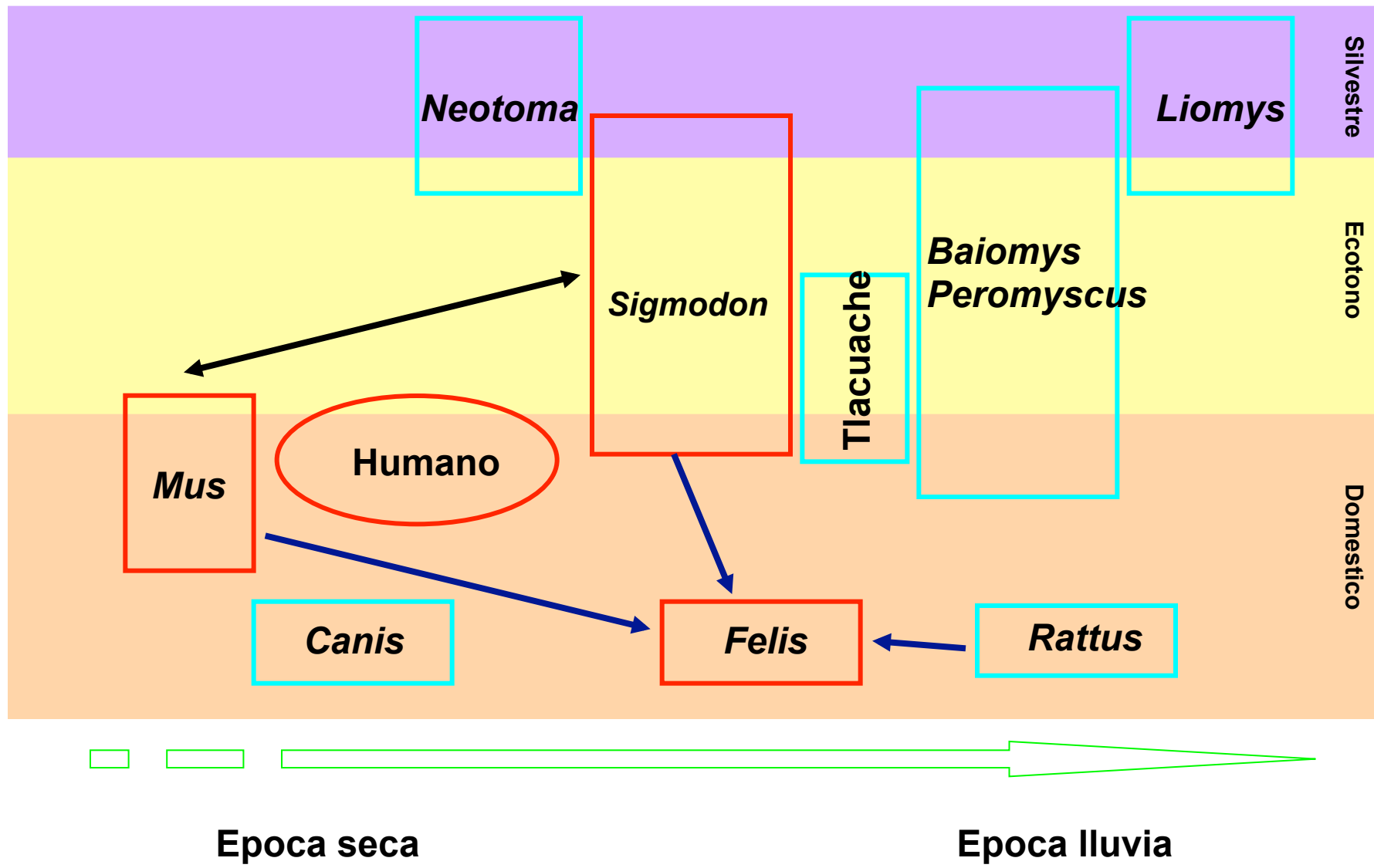
*Triatoma pallidipennis*



Prevalencia de infección de *T. cruzi* en *Triatoma pallidipennis* dentro del ambiente silvestre, cultivos y doméstico durante la temporada de lluvias y secas. Arriba de cada barra se muestra el número de individuos colectados entre el total.



# Modelo de la transmisión de *T. cruzi* al humano: interacciones entre *T. pallidipennis*, reservorios y hábitat.



# Conclusiones

- Minería de datos para identificar vectores y reservorios potenciales de zoonosis emergentes de importancia en salud pública.
- Modelos de nicho ecológico proyectados como distribuciones potenciales actuales y bajo escenario de CC de reservorios y vectores de zoonosis emergentes.
- Identificación de áreas de riesgo en poblaciones humanas.

# Nuevos retos

**Vínculo entre conservación de la biodiversidad, zoonosis emergentes de importancia en salud pública y bienestar humano**

# Muchas gracias!

[victor@ibiologia.unam.mx](mailto:victor@ibiologia.unam.mx)